

Санкт-Петербургский национальный исследовательский университет ИТМО  
Факультет систем управления и робототехники

Лабораторная работа №5  
«Типовые динамические звенья»  
по дисциплине «Теория автоматического управления»  
Вариант: 16

Подготовил: Дюжев Владислав Дмитриевич  
Группа: R33353  
Преподаватель: Пашенко А. В.

Санкт-Петербург 2023 г.

## Содержание

<b>1</b>	<b>Исследование типовых звеньев</b>	<b>2</b>
----------	-------------------------------------	----------

## Предисловие

При выполнении данной лабораторной работы было решено использовать **Python Control Systems Library**. Данный инструмент является альтернативой Matlab, адаптированной для использования на языке Python и предоставляет широкий функционал для анализа и моделирования систем, а также синтеза регуляторов для управления.

Полный листинг моделирования систем представлен в **jupyter notebook** на GitHub.

## 1 Исследование типовых звеньев

Рассмотрим несколько систем из приведенных заданий. Выведем дифференциальные уравнения, описывающие данные системы и найдем аналитические выражения для временных и частотных характеристик.

### Brushed DC motor 2.0

$$J\dot{\omega} = M, M = k_m I, I = \frac{U + \varepsilon}{R}, \varepsilon = \varepsilon_i + \varepsilon_s, \varepsilon_i = -k_e \omega, \varepsilon_s = -L\dot{I}. \quad (1)$$

Путем преобразований можем получить дифференциальное уравнение (апериодическое звено второго порядка):

$$\ddot{\omega} + \frac{R}{L}\dot{\omega} + \frac{k_m k_e}{JL}\omega = \frac{k_m}{JL}U, W(s) = \frac{k_m}{JLs^2 + JRs + k_m k_e}$$

Временные характеристики:

$$y_{i.r.} = \mathcal{L}^{-1}(W(s)) = \frac{2k_m e^{-\frac{Rt}{2L}} \sin\left(\frac{t\sqrt{-\frac{R^2}{L} + \frac{4k_e k_m}{J}}}{2}\right)\theta(t)}{JL\sqrt{-\frac{R^2}{L} + \frac{4k_e k_m}{J}}}$$

$$y_{s.r.} = \mathcal{L}^{-1}\left(\frac{1}{s}W(s)\right) = \frac{\theta(t)}{k_e} - \frac{e^{-\frac{Rt}{2L}} \cos\left(\frac{t\sqrt{-\frac{R^2}{L} + \frac{4k_e k_m}{J}}}{2}\right)\theta(t)}{k_e} - \frac{Re^{-\frac{Rt}{2L}} \sin\left(\frac{t\sqrt{-\frac{R^2}{L} + \frac{4k_e k_m}{J}}}{2}\right)\theta(t)}{Lk_e\sqrt{-\frac{R^2}{L} + \frac{4k_e k_m}{J}}}$$

Проведем моделирование системы и сравним с аналитически полученным поведением:

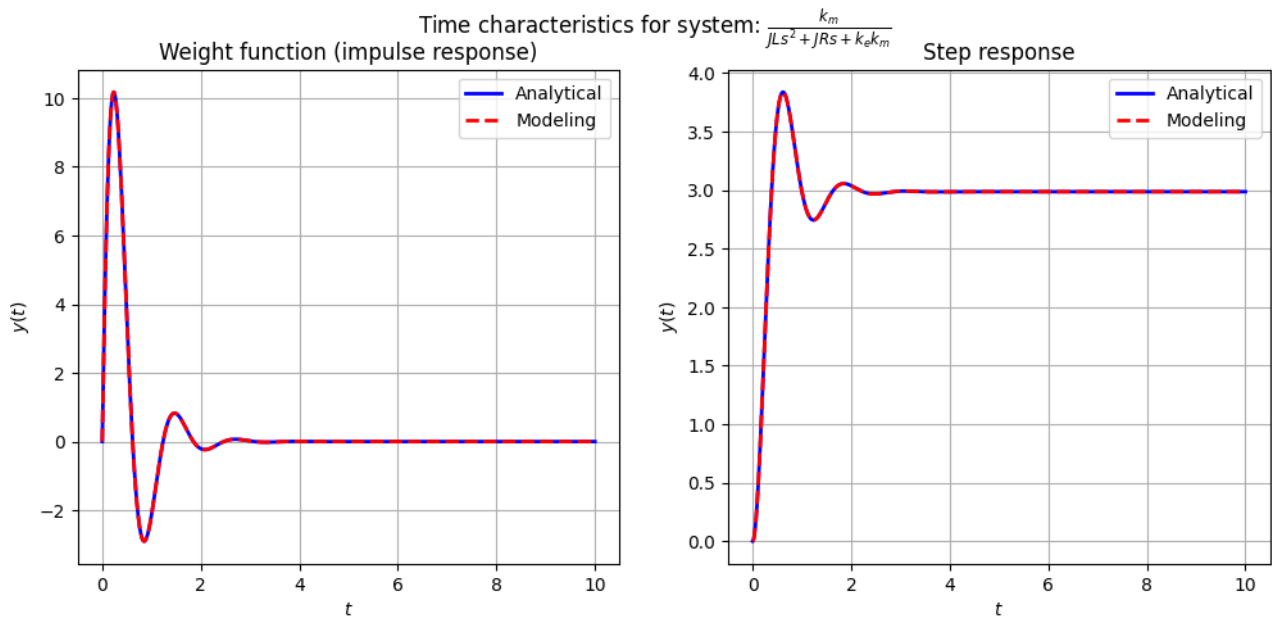


Рис. 1: Временные характеристики системы 2 (подвариант 7)

Частотные характеристики:

$$|W(j\omega)| = \frac{\|k_m\|}{\sqrt{J^2 L^2 \omega^4 + J^2 R^2 \omega^2 - 2 J L k_e k_m \omega^2 + k_e^2 k_m^2}}$$

$$\text{Arg}(W(j\omega)) = \text{atan}_2\left(-\frac{J R k_m \omega}{J^2 R^2 \omega^2 + (J L \omega^2 - k_e k_m)^2}, -\frac{k_m (J L \omega^2 - k_e k_m)}{J^2 R^2 \omega^2 + (J L \omega^2 - k_e k_m)^2}\right)$$

Воспользуемся функцией **bode** для численного моделирования частотных характеристик:

Frequency characteristics for system:  $\frac{k_m}{jLs^2 + jRs + k_e k_m}$

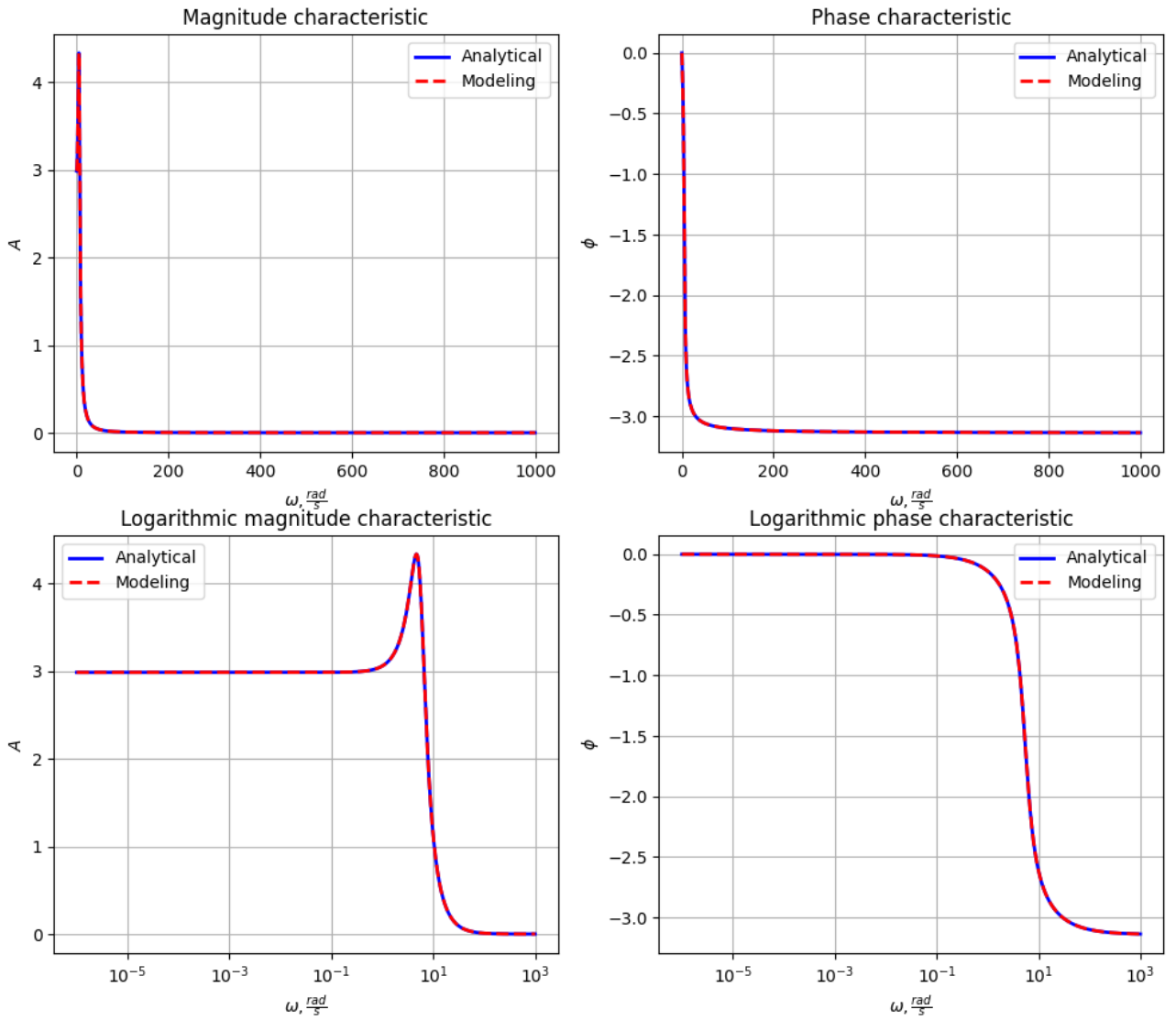


Рис. 2: Частотные характеристики системы 2 (подвариант 7)

### Конденсируй. Интегрируй. Умножай

$$I = C \frac{dU}{dt} \quad (2)$$

Путем преобразований можем получить дифференциальное уравнение (идеальное интегрирующее):

$$\dot{U}C = I, W(s) = \frac{1}{Cs}$$

Временные характеристики:

$$y_{i.r.} = \mathcal{L}^{-1}(W(s)) = \frac{\theta(t)}{C}$$

$$y_{s.r.} = \mathcal{L}^{-1}\left(\frac{1}{s}W(s)\right) = \frac{\theta(t)t}{C}$$

Проведем моделирование системы и сравним с аналитически полученным поведением:

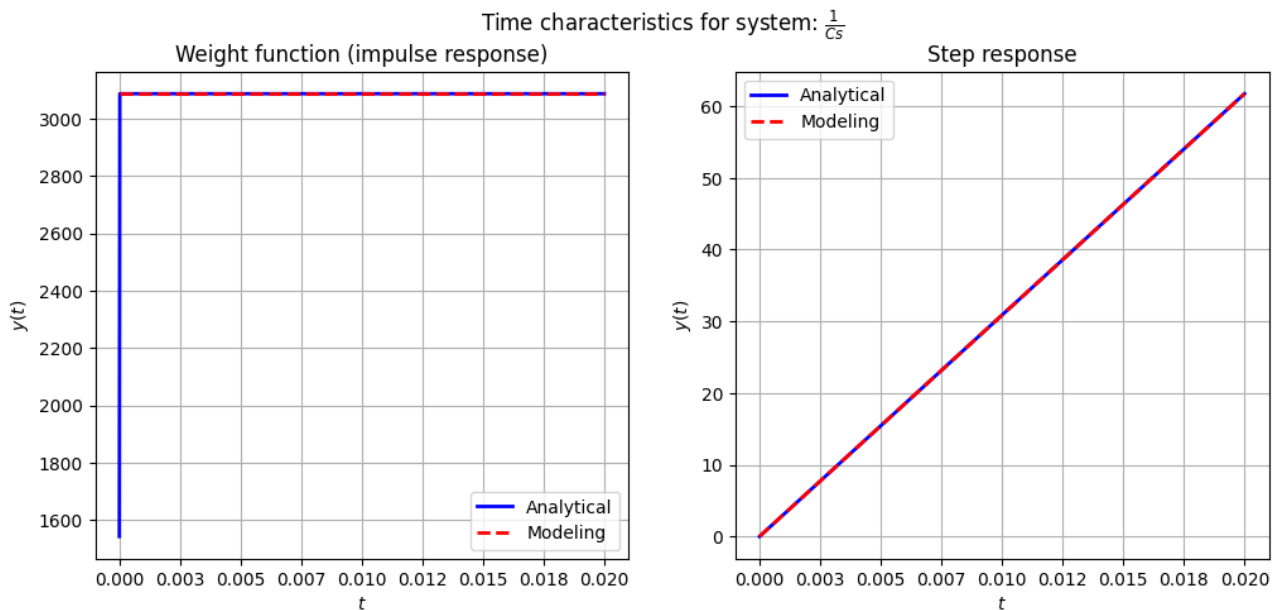


Рис. 3: Временные характеристики системы 3 (подвариант 7)

Частотные характеристики:

$$|W(j\omega)| = \frac{1}{|C\omega|}$$

$$\text{Arg}(W(j\omega)) = \text{atan}_2\left(-\frac{1}{C\omega}, 0\right) = -\frac{\pi}{2}$$

Воспользуемся функцией **bode** для численного моделирования частотных характеристик:

Frequency characteristics for system:  $\frac{1}{Cs}$

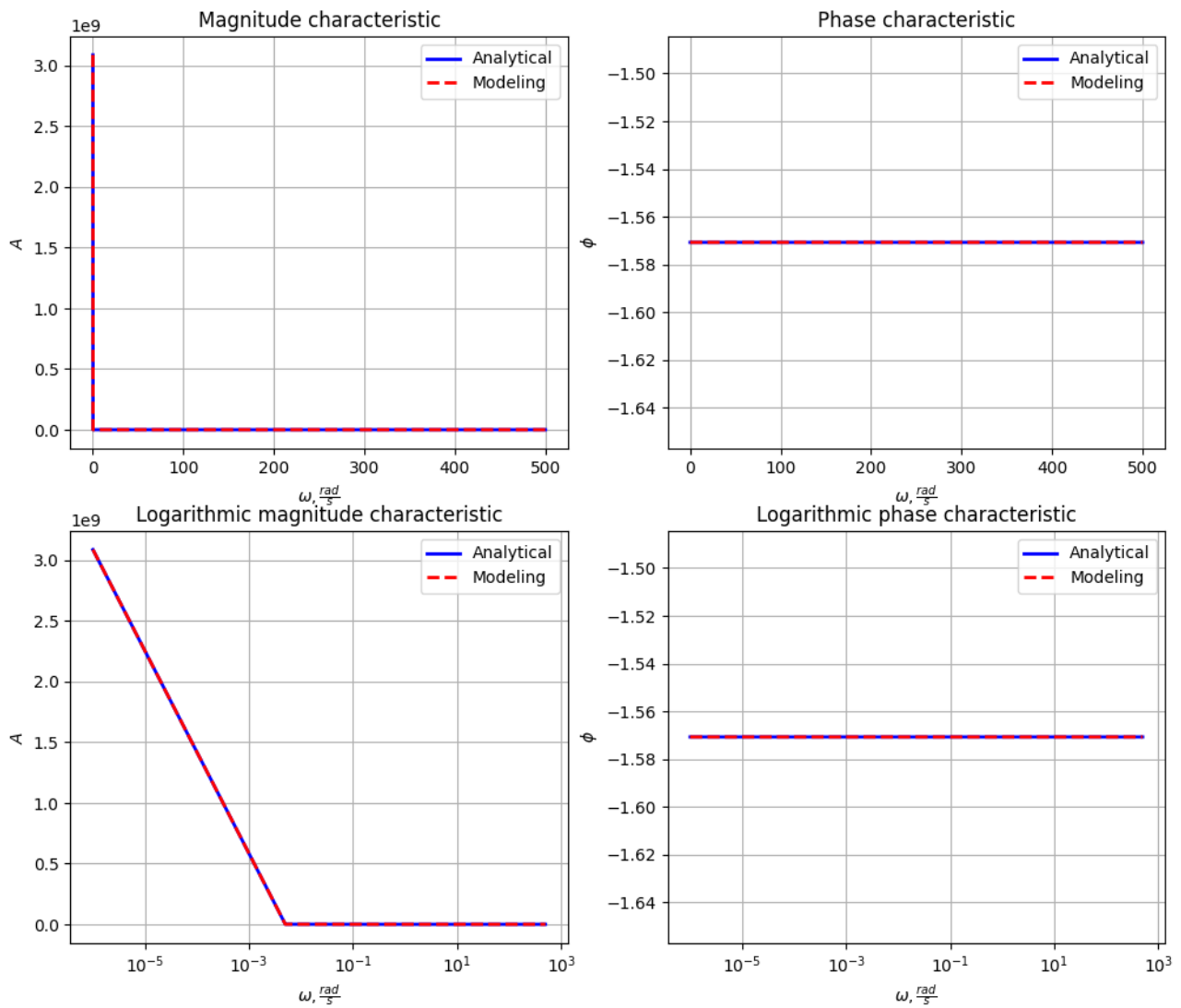


Рис. 4: Частотные характеристики системы 3 (подвариант 7)